

## 二成分の存在するイオン交換体内的放射性核種の移動

京大工 正会員 井上賛輝 ○京大工 学生会員 森澤真輔

近年我が国においては、原子力発電の実用化が進み日本原子力産業会議開発計画委員会の報告によれば、昭和60年末に原子力発電による電力は全電力需要量の27%を占める見込みである。あわせて昭和48年から我が国においても、日本原子力燃料公社東海製鉄所で使用済み燃料の再処理の操業を開始することを予定している。核燃料再処理工程においては、新料形式によっても異なるが、通常は燃料の被覆材を硝酸ではなく離させるため、そこから出る廢液すなわち再処理廃液は強硝酸酸性で、かつ放射能濃度も異常に高い。したがってこの廃液を布教して環境に放出することもできず、現在のところ地下タンクに半永久的に貯留することとされられているだけである。この強放射性の再処理廃液が事故により地中に漏れると想いした場合、重大な影響が現れることが充分に予想される。すでに主としてアメリカにおいては、放射性廃棄物の地中処分の研究と関連して、放射性物質の地中移動についての研究がなさればよりの成果が得られている。しかし強放射性の再処理廃液のように水素イオン濃度が異常に高い場合の放射性核種の地中移動についてはあまり研究が進んでいない様子である。そこで本研究はこの問題にとりくみ水素イオン濃度が異常に高い場合の放射性核種の地中移動について調べた。同時に、従来の研究が核種の移動をイオン交換体内における二成分間イオン交換と考えて解析しているのに対し、ここでは現象を多成分間のイオン交換であると考えて Sillén の Frontal analysis の手法<sup>(1)</sup>に従って解析することとした。

Sillén の示した Frontal analysis はイオン交換剤を通過する溶液およびイオン交換剤内の放射性核種の濃度変化曲線(溶出曲線)を図解的に求めうる手法である。この手法は次の假定の下に成立する。

- 1) イオン交換剤と溶液との間には、いわゆる交換平衡が成立している。
- 2) 溶液の移動方向に物質を移動させる過程は溶液の移動のみである。すなはち物質の拡散は無視する。

Sillén はイオン交換系と性質の全く同じイオン交換剤が無限に長い管の内に一様に充填されている模型を表し、この系を記述するのに二つの变数を用いた。一つはイオン交換層を通過する溶液の量を表す  $V$  で、他の一つはイオン交換剤の量を表す  $X$  である。この二变数を用いて、管内の物質収支式を書き表すと次式のようになる。

$$\left(\frac{\partial C_i}{\partial X}\right)_V + \left(\frac{\partial Q_i}{\partial V}\right)_X = 0 \quad (1)$$

ここに  $C_i, Q_i$  は各々第  $i$  番目の物質の溶液中およびイオン交換剤中の濃度を表す。(1)式が Frontal analysis を行う場合の基礎式である。ところで  $C_i, Q_i$  は次の条件(2)(3)が満たさないと  $Q_i = C_i V / X$  の形の関数で表されない。Sillén はこの条件を "Q-condition" と呼んだ。

$$Q_i = 0 (V=0) \text{ のとき; } C_i, Q_i \text{ は全て定数} \quad (2)$$

$$Q_i = 0 (X=0) \text{ のとき; } C_i, Q_i \text{ は全て定数} \quad (3)$$

(1) "On filtration through a sorbent layer." Arkiv för kemi Band 2 nr 35 (1950)  
(Lars Gunnar Sillén)

条件(2)は最初( $V=0$ )しイオンについてイオン交換剤はその間隙水中の濃度 $C_i'$ と平衡な濃度 $\varphi_i$ であることを、条件(3)は管の入口( $X=0$ )でイオン交換剤と流入水の濃度は交換平衡の状態にあることを示す。 $\varphi$ -Conditionが成立すると(1)式が次の様に変形される。

$$\frac{dC_i}{d\varphi} \left( \frac{C_0}{\varphi_\infty} \frac{d\varphi_i}{dC_i} - \varphi \right) = 0 \quad (4)$$

この場合  $C_i = \text{Const.}$  または  $\varphi = \frac{C_0}{\varphi_\infty} \frac{d\varphi_i}{dC_i}$  (5)

(5)の第一式は流中の荷種濃度が不連続に変化することを示し、その位置を与える $\varphi$ の値 $\varphi_s$ は次の式(6)で与えられ、また(5)の第二式は式(7)で与えられる二つの $\varphi$ の値の間に成立する。

$$\varphi_s = \frac{\Delta \varphi_i}{\Delta C_i} \quad (6)$$

$$\varphi_1 = \frac{C_0}{\varphi_\infty} \left( \frac{d\varphi_i}{dC_i} \right)_{C_i=0}, \quad \varphi_2 = \frac{C_0}{\varphi_\infty} \left( \frac{d\varphi_i}{dC_i} \right)_{C_i=C_0} \quad (7)$$

(7)式の $\varphi_1, \varphi_2$ は各々交換平衡曲線の原点および $C_i=C_0, \varphi_i=\varphi_\infty$ における接線の勾配を示す。図-1にFrontal analysisの手順を表した図を示す。

水素イオン濃度が高い場合の荷種の中での挙動を調べるために次の実験を行った。まずカラムに Amberlite IR-120B 55.0 g を充填し $^{87}\text{Sr}$ を注入した0.085N-HNO<sub>3</sub>溶液を通水した。別のカラムに砂4300 g を充填し、同じく $^{87}\text{Sr}$ を注入した0.085N-HNO<sub>3</sub>溶液を通水した。砂カラムによる実験より得た露出曲線とFrontal analysisによる理論曲線とを図-2に示す。以上の実験から得られる結論および問題点を列挙すると次の様になる。

- 1) Frontal analysisによる理論露出曲線は不連続な曲線となる場合があるが、平均露出量の位置は実測値とよく一致しており全体的にみて実測値の傾向をよく表している。
- 2) 本実験では標準廃液の硝酸濃度を0.085Nとしたが實際の廃液ではより高濃度である。したがってより高濃度の硝酸が地中に浸入する場合、硝酸と土砂との相互作用を調べる必要がある。
- 3) 本実験では地中での荷種のイオン交換については考慮しないが、たゞ、この点を更に基礎的に調べる必要がある。
- 4) Frontal analysisの手法はまだ改良すべき点が多い。たとえば、拡散項、速度項を考慮する方向で改良していく必要がある。現段階では放射性荷種の地中移動をこの手法を用いて予測するのは危険である。

図-1 Frontal analysisの図解

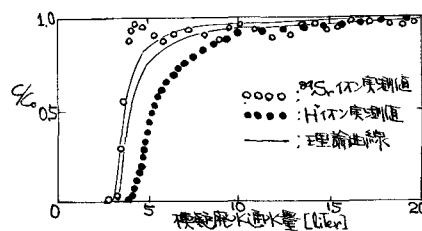
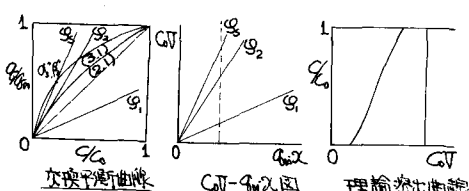


図-2  $^{87}\text{Sr}, \text{H}^+$ イオン実測値と理論曲線(砂カラム)